

О ГОРЕНИИ ТЕТРИЛА

А. Д. Марголин, А. Е. Фогельзанг
(Москва)

В настоящей работе был выбран для изучения типичный представитель вторичных ВВ — тетрил. Известны многие его теплофизические характеристики [1—3], кинетика термического разложения в жидким состоянии при достаточно высоких температурах [4, 5] и состав продуктов горения [6].

МЕТОДИКА

Измерение температурного профиля производили ленточными П-образными микротермопарами (вольфрам + 5% рения — вольфрам + 20% рения) толщиной 5—7 мк по методике, описанной А. А. Зениным [7]. Сварку термопар производили разрядом электролитического конденсатора большой емкости (800 мкФ). Заряды запрессовывали в плексиглавовые трубы высотой 40 мм с внутренним диаметром 8 мм и толщиной стенки 2 мм. Для помещения термопар в заряд был применен следующий способ: сначала в трубку засыпали половину навески ВВ и фигурным пуансоном делали трапециевидное углубление, в которое затем вставляли термопару, засыпали вторую половину навески и производили прессование на гидравлическом прессе до плотности (1,68—1,70 г/см³), близкой к максимальной (1,73 г/см³). Сжигание зарядов производили в бомбе постоянного давления с окнами, что позволяло одновременно с записью температурного профиля фиксировать характер и скорость горения.

РЕЗУЛЬТАТЫ ОПЫТОВ

Типичные осциллограммы распределения температуры в зонах горения тетрила при различных давлениях представлены на рис. 1. На всех осциллограммах можно различить следующие характерные зоны. Зона I от начальной температуры до перелома, отвечающего температуре плавления, т. е. зона твердого вещества с температурой меньше 130°С; зона II от температуры плавления до места характерного перегиба на осциллограмме, отвечающего температуре на поверхности конденсированной фазы T_p , т. е. зона расплавленного вещества и реакционный слой; зона первичного пламени III, непосредственно прилегающая к реакционному слою конденсированной фазы, и, наконец, зона вторичного пламени IV, которая появляется только при давлениях выше 7 кг/см².

Максимальная температура горения (рис. 2) сначала меняется очень слабо с 900°C при атмосферном давлении до 1000°C при $p=7 \text{ кг}/\text{см}^2$, затем резко возрастает до 2100°C (появляется зона вторичного пламени при $8 \text{ кг}/\text{см}^2$), дальнейшее увеличение давления до $45 \text{ кг}/\text{см}^2$ приводит лишь к незначительному росту максимальной температуры горения.

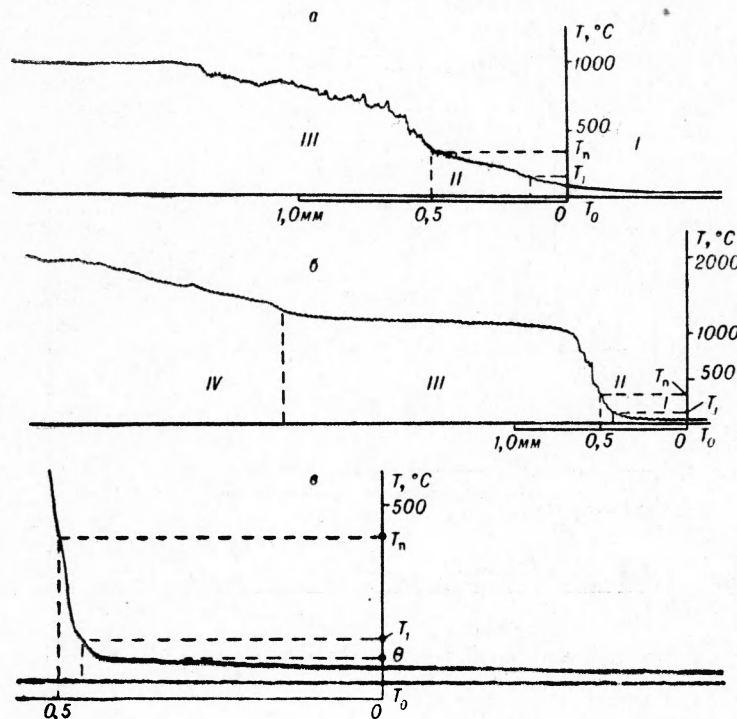


Рис. 1. Осциллограммы температурных профилей, полученных при горении тетрила при атмосферном давлении (а), при $p=8 \text{ кг}/\text{см}^2$ (б) и при $p=45 \text{ кг}/\text{см}^2$ (в).

Близкие значения максимальной температуры горения тетрила получены в работе [8] П. Ф. Похилом и В. М. Мальцевым. В момент появления вторичного пламени ($8 \text{ кг}/\text{см}^2$) максимальная температура в нем достигается на расстоянии $4,5 \text{ мм}$ от поверхности конденсированной фазы, но с увеличением давления это расстояние быстро уменьшается (рис. 3) и при $p=45 \text{ кг}/\text{см}^2$ оно составляет $\sim 0,25 \text{ мм}$.

Максимальная температура первого пламени при увеличении давления несколько возрастает (см. рис. 2).

Отметим, что при давлениях $1-20 \text{ кг}/\text{см}^2$ в этой зоне наблюдается область колебания температуры, которая непосредственно граничит с конденсированной фазой. Указанная область хорошо видна на рис. 1, а, б. При $45 \text{ кг}/\text{см}^2$ таких колебаний температуры не отмечено (см. рис. 1, в). По мере повышения давления амплитуда колебаний температуры уменьшается, а частота их возрастает. При одной атмосфере заметны колебания температуры и в конденсированной фазе (см. рис. 1, а).

Температура поверхности горящего тетрила T_n (табл. 1, рис. 2) при атмосферном давлении совпадает с температурой кипения тетрила. Увеличение давления приводит к плавному росту T_n (см. рис. 2) по кривой, близкой к расчетной зависимости температуры кипения тетрила от

давления. Температура кипения (см. рис. 2) рассчитана по формуле Клайперона — Клаузиуса, исходя из того, что, по данным А. Ф. Беляева [1], температура кипения T_k тетрила при атмосферном давлении равна 310°C , а теплота испарения его составляет 26 ккал/моль .

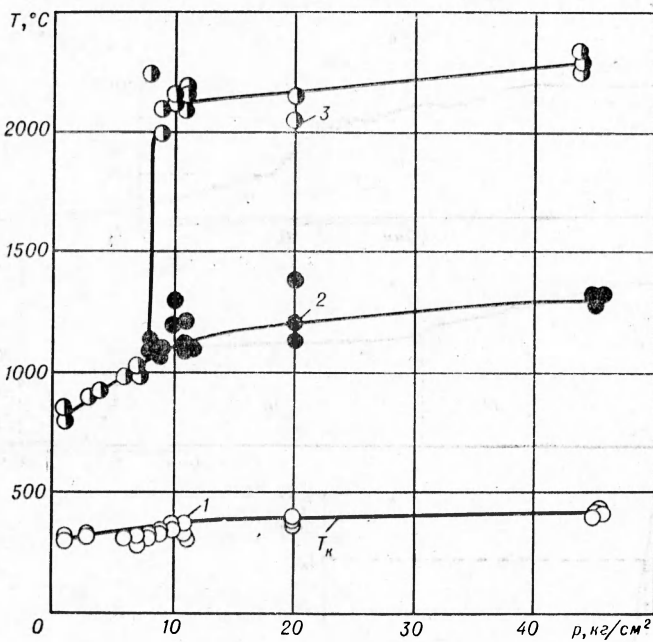


Рис. 2. Зависимость температур: поверхности (1), дымогазовой зоны (2), максимальной (3) и кипения T_k от давления.

Температурные профили позволили определить градиент температуры вблизи поверхности конденсированной фазы — $\left(\frac{dT}{dx}\right)_n$ (эта величина и температура поверхности определяется значительно менее надежно, чем температура горения и количество тепла, передаваемого теплопроводностью из газовой фазы в конденсированную (табл. 1).

При рассмотрении осцилограмм обращает на себя внимание распределение температур в зоне I ($T < T_1$). Характерной особенностью этой зоны является то, что распределение температуры в ней, казалось бы должно строго следовать закону Михельсона, так как при таких низких температурах ($T < 130^\circ\text{C}$) за время прогрева в волне горения заметного разложения тетрила происходит не должно (период полураспада при 120°C равен 8700 час [4]), поэтому с ростом скорости горения и ширина прогретого слоя l должна была бы уменьшаться так, чтобы произведение ul оставалось постоянным, но увеличение давления с 6 до $45 \text{ кг}/\text{см}^2$ неожиданно

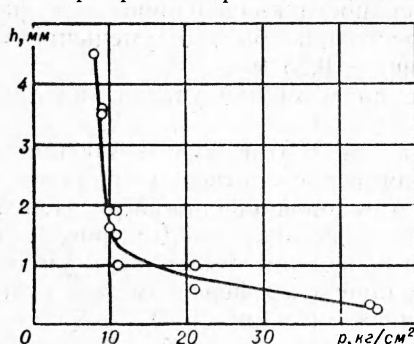


Рис. 3. Расстояние от поверхности конденсированной фазы до максимальной температуры вторичного пламени h .

приводит к сильному росту ширины прогретого слоя с 0,05 до 0,5 мм, что, в свою очередь, приводит к увеличению произведения $u \cdot l$ в 20 раз (рис. 4).

Таблица 1

Определяемые величины	$p, \text{ кг}/\text{см}^2$				
	1	7	10	20	45
$T_{\text{пп}}, ^\circ\text{C}$ (опыт)	310	—	350	400	405
$T_{\text{к}}, ^\circ\text{C}$ (расчет)	310	—	377	400	427
$\left(\frac{dT}{dx}\right)_{\text{пп}} \cdot 10^{-4}, \text{град}/\text{см}$	2,7	—	5	7,5	15
$u, \text{ см}/\text{сек}$	0,045	0,18	0,22	0,35	0,55
$u_1, \text{ см}/\text{сек}$	—	0,19	0,25	—	0,55
$\theta, ^\circ\text{C}$	0	0	45	89	78
$r, \text{ кал}/\text{см}^2 \cdot \text{сек}$	0	0	4	12	17
$S, \text{ см}$	—	—	0,12	0,08	0,1
$r/R, \%$	—	—	8	24	34

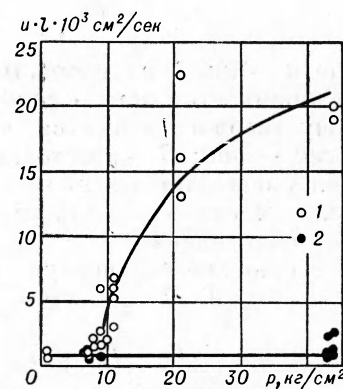


Рис. 4. Изменение произведения $u \cdot l$ для чистого тетрила (1) и тетрила с сажей (2).

Обозначения: u — скорость горения чистого тетрила; u_1 — скорость горения смеси тетрила с 5% газовой сажи; R — максимально возможный световой поток из зоны пламени. $R = \sigma T^4$ ($R = 50 \text{ кал}/\text{см}^2 \cdot \text{сек}$).

ПРОГРЕТЫЙ СЛОЙ ТВЕРДОЙ ФАЗЫ

Можно предположить, что увеличение произведения $u \cdot l$ связано с теплопередачей излучением из зоны вторичного пламени. Действительно, прогретый слой начинает расширяться при появлении вторичного пламени, которое должно обладать большой излучательной способностью [8], так как при горении тетрила образуется большое количество углерода [6]. Кроме того, тетрил достаточно прозрачен, поэтому интенсивное излучение вторичного пламени, имеющего температуру 2000—2300°С, может нагреть внутренние слои вещества и вызвать расширение прогретого слоя и существенное отклонение распределения температуры от михельсоновского. Чтобы проверить это предположение о роли излучения, были проведены опыты с тетрилом с примесью 2 и 5% газовой сажи, которая превратила его в практически непрозрачный материал, и поэтому весь поток излучения должен был задерживаться в верхних слоях расплава и не проходить в зону с $T < T_1$.

Добавление к тетрилу сажи почти не изменило скорости горения (табл. 1), но привело к резкому сокращению прогретого слоя при 10—45 $\text{кг}/\text{см}^2$, тогда как при меньших давлениях (7 $\text{кг}/\text{см}^2$) ширина прогретого слоя не изменилась. Произведение $u \cdot l$ для тетрила с сажей не изменяется с увеличением давления (см. рис. 4), т. е. теплопередача в непрозрачном веществе, как и следовало ожидать, осуществляется только теплопроводностью. Таким образом, можно с уверенностью сказать, что расширение зоны $T < T_1$ связано с излучением.

Для выяснения характеристик теплового потока и закона распределения температур в зоне I запишем уравнение теплового баланса для стационарного распространения, принимая, что химическая реакция

¹ Для определенности расстояние l измеряли от $T = 70$ до $T = 129^\circ\text{C}$ — перелом на осциллограмме.

отсутствует и имеется поток излучения

$$\lambda \frac{dT}{dx^2} - u \rho c \frac{dT}{dx} + \frac{r}{S} \exp\left(\frac{x}{S}\right) = 0, \quad (1)$$

где u — линейная скорость горения, см/сек; ρ — плотность, г/см³; C — теплоемкость, кал/г · град; r — тепловой поток излучения, входящий в зону твердого вещества, кал/см² · сек; λ — теплопроводность, кал/см · сек · град; S — расстояние, на котором интенсивность потока излучения уменьшается в $e(\sim 2,7)$ раз, см. Известно, что S зависит от длины волны света, здесь для упрощения задачи выбрано среднее для спектра пламени значение.

Решение уравнения (1) при граничных условиях ($T = T_0$ при $x = -\infty$; $T = T_1$ при $x = 0$) есть

$$T - T_0 = (T_1 - T_0 - \theta) \exp\left(\frac{x}{l_0}\right) + \theta \exp\left(-\frac{x}{S}\right), \quad (2)$$

где

$$\theta = \frac{r l_0}{\lambda \left(1 - \frac{l_0}{S}\right)}, \quad (3)$$

$$l_0 = \frac{\lambda}{u \rho c} = \frac{z}{u}. \quad (4)$$

Величина θ показывает, на сколько градусов нагревается твердая фаза горящего ВВ излучением.

Логарифмируя выражение (2) и учитывая, что при $S \gg l_0$ и $|x| \gg l_0$ член $(T_1 - T_0 - \theta) \exp \frac{x}{l_0}$ становится пренебрежимо малым, получим

$$\ln(T - T_0) = \ln \theta - \frac{|x|}{S} \text{ при } S \gg l_0; |x| \gg l_0, \quad (5)$$

следовательно, в координатах $\ln(T - T_0)$ — x должна быть прямая линия, которая отсекает на оси ординат величину $\ln \theta$ и имеет тангенс угла наклона, равный S^{-1} . Как видно из рис. 5, при давлениях 20—45 кг/см² в указанных координатах профили температуры действительно спрямляются и только при 10 кг/см² (l_0 приближается к S) имеется отклонение от прямой. При $S \gg l_0$ выражение (3) упрощается

$$\theta = \frac{rl_0}{\lambda} = \frac{r}{c\rho u}.$$

Полученные величины θ , r , S представлены в табл. 1, где показано, что S не зависит от давления. Это служит косвенным подтверждением расширения зоны прогрева по сравнению с михельсоновской из-за теплопередачи излу-

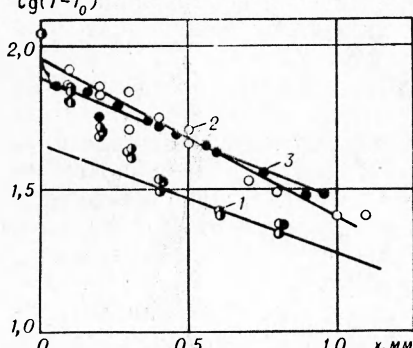


Рис. 5. Форма профиля температуры в полулогарифмических координатах при давлении 10 атм (1), 20 атм (2) и 45 атм (3).

чением. Действительно, коэффициент поглощения света $1/S$ является характеристикой вещества и излучения и не должен зависеть от скорости горения (в области, где имеется полнота сгорания и пламя имеет достаточно большие линейные размеры). Если бы ширина зоны определялась теплопроводностью и химическими реакциями, то она была бы обратно пропорциональна скорости горения.

Поскольку все вторичные ВВ имеют, как правило, яркое горячее пламя и обладают достаточной прозрачностью ($S \gg l_0$), можно предположить, что многие ВВ и некоторые пороха так же, как и тетрил, имеют аномально широкие зоны прогрева из-за теплопередачи излучением. Для проверки этого предположения было проведено измерение по описанной выше методике распределения температуры в горящем тэнне при $p = 25 \text{ кг/см}^2$. Оказалось, что ширина зоны прогрева тэнна в указанных условиях также аномально велика и определяется излучением вторичного пламени и прозрачностью вещества.

Из приведенных результатов эксперимента и формул видно, что в зоне прогрева конденсированной фазы из-за теплопередачи излучением может находиться большой запас тепла (превышающий запас тепла в михельсоновском слое), имеющий максимум при некотором давлении (для тетрила 20 атм). При изменении давления запас тепла также меняется. Следовательно, прогрев ВВ излучением пламени должен существенно влиять на переходные и предельные режимы горения (горение при быстром изменении давления, зажигание, гашение, усиление акустических волн в зоне горения, предельный диаметр горения). Во всех описанных опытах выполнялось неравенство $A = \frac{L}{c} + T_1 - T_0 - \theta > 0$ (T_1 — температура плавления, T_0 — начальная температура; L — теплота плавления), из которого видно, что часть тепла, необходимого для нагрева и плавления твердого вещества, доставляется из зоны расплава теплопроводностью.

Приближенно описывая распределение температуры в зоне расплава законом Михельсона, найдем расстояние от поверхности конденсированной фазы (или от зоны химической реакции) до границы твердой и жидкой фаз:

$$x_1 = l_0 \ln \frac{A}{A + T_n - T_1}.$$

По мере приближения A к нулю расстояние x_1 устремляется к бесконечности, а поток тепла из зоны расплава в твердую фазу приближается к нулю. Если $A < 0$, то поток тепла формально *рисА* также станет отрицательным, т. е. тепло будет идти из твердой фазы к зоне расплава, чего быть не может. Отсюда видно, что в стационарном случае обязательно выполняется неравенство $A \geq 0$. В противном случае ($A < 0$) горение нестационарно, а именно плоскость плавления распространяется быстрее фронта пламени и зона расплава расширяется. Это расширение может прекратиться из-за тепловых потерь. Такой режим горения с аномально широким расплавленным слоем, возможно, в определенных условиях имеет место для медленно горящих ВВ с горячим пламенем, например для тэнна. Не исключено, что именно с этим режимом связан известный факт прекращения горения тэнна в определенном интервале давлений, объясняемый К. К. Андреевым и П. П. Поповой [4, 9] неустойчивостью горения расплава согласно К. К. Андрееву [4] и А. Д. Ландай [10].

ТЕПЛОВОЙ БАЛАНС КОНДЕНСИРОВАННОЙ ФАЗЫ

Для сведения теплового баланса конденсированной фазы проинтегрируем уравнение теплопроводности от начальной температуры до температуры поверхности конденсированной фазы

$$c(T_n - T_0) + L + Q_i - Q_\lambda - Q_x - Q_R = 0,$$

где $c(T_n - T_0)$ — тепло, идущее на нагрев ВВ до температуры T_n ; L и Q_i — тепло, идущее на плавление и испарение; Q_x — тепло, выделившееся за счет химических реакций в реакционном слое конденсированной фазы; Q_λ , Q_R — тепло, принесенное в конденсированную фазу теплопроводностью и излучением.

Величины T_n , T_0 , Q_λ — известны из приведенных выше опытов, величина $L = 20,6 \text{ кал} \cdot \text{г}^{-1}$ [3]. Величину Q_R можно оценить сверху, считая, что весь тепловой поток пламени, излучающего как черное тело той же температуры, доходит до конденсированной фазы и поглощается в ней, и снизу, приравнивая Q_R величине $\frac{r}{\rho u}$, поглощенной в твердой фазе (r — измерено). О величине Q_i заранее известно лишь то, что она заключена между нулем и теплотой испарения тетрила L_i , так как неясно, какая доля тетрила успевает испаряться и сколько вещества

Таблица 2*

Определяемые величины	$p, \text{кг}/\text{см}^2$			
	1	10	20	45
Q_1	85	95	105	110
$Q_\lambda = \frac{\lambda_1}{\rho u} \left(\frac{dT}{dx} \right)_n$	40	15	15	20
$Q_{R \max} = \frac{R}{\rho u}$	0	150	95	55
$Q_{R \min} = \frac{r}{\rho u}$	0	10	20	20
$Q_{x \max}$	140	160	160	160
$Q_{x \min}$	45	-70	-5	35
$\alpha_1 = \frac{Q_{x \max}}{Q_1}$	1,6	1,7	1,5	1,5
$\alpha_2 = \frac{Q_{x \min}}{Q_1}$	0,5	-0,7	-0,05	0,3

* $c = 0,23 \text{ кал}/\text{г} \cdot \text{град}$ [3]; $\lambda_1 = 1,2 \times 10^{-4} \text{ кал}/\text{см} \cdot \text{сек} \cdot \text{град}$. При вычислении λ_1 принимали, что углерод над поверхностью находится в виде отдельных частиц, окруженных со всех сторон газом. Тепло измерялось в калориях на грамм.

определения этой величины следовало бы определение температуры в реакционном слое конденсированной фазы, что пока не удалось сделать.

Видно, что без более тонких измерений и без более конкретного знания механизма горения не удается однозначно свести баланс тепла конденсированной фазы. Приведем некоторые соображения, позволяю-

щие диспергирует или всепенивается (продукт разложения тетрила — пикриновая кислота — имеет теплоту испарения, близкую к теплоте испарения тетрила: 93 и 91 кал/г соответственно). По уравнению теплового баланса вычислялась величина Q_x и $Q_1 = c(T_n - T_0) + L$ — полный запас тепла в конденсированной фазе, причем при вычислении $Q_{x \max}$ принималось $Q_i = L_i$ и $Q_R = \frac{r}{\rho u}$, а при вычислении $Q_{x \min}$ принималось $Q_i = 0$ и $Q_R = \frac{R}{\rho u}$ ($R = 50 \text{ кал}/\text{см}^2 \cdot \text{сек}$) (табл. 2).

Из табл. 2 видно, что при давлениях 10—45 атм вклад Q_R в тепловой баланс конденсированной фазы не меньше, чем вклад Q_λ ; неопределенность величин Q_R и Q_i пока не позволила вычислить Q_x . Для

щие уточнить количество тепла, идущее на испарение ВВ. Сначала рассмотрим предельный случай отсутствия тепловых источников и химических реакций в конденсированной фазе. К поверхности конденсированной фазы подходит поток тепла, передающегося из газа теплопроводностью q_λ и частично излучением q'_R (имеется в виду часть лучистого потока, поглощающаяся в достаточно тонком поверхностном слое; толщина этого слоя нуждается в уточнении). Этот тепловой поток идет на нагрев вещества до температуры поверхности и на испарение вещества с поверхности. В этом случае всегда $q_\lambda + q'_R > L_i \rho$.

Обратимся к рассмотрению второго предельного случая, когда поток тепла из газовой фазы отсутствует и в конденсированной фазе идут суммарно-экзотермические реакции. В зоне химических реакций, как правило, образуются пузырьки газа. Рост количества и размера этих пузырьков за счет испарения и разложения относительно небольшой доли конденсированного вещества приводит к интенсивному диспергированию или вспениванию основной массы вещества, следовательно, в этом случае расход энергии на испарение незначителен (в отличие от первого предельного случая) и поверхность образуется путем диспергирования и вспенивания вещества, а не благодаря поверхностному испарению.

Приведем еще один довод в пользу положения о том, что при наличии химических реакций и тепловыделения в конденсированной фазе испаряется лишь небольшая часть вещества. В рассматриваемом предельном случае (нет потока тепла из газовой фазы к поверхности конденсированной) стационарное распространение пламени несовместимо с поверхностным испарением, так как при этом тепло, идущее на испарение, должно было бы поступать к поверхности из глубины конденсированной фазы, а для этого нужно, чтобы температура поверхности была ниже, чем температура в глубине конденсированной фазы, что привело бы к образованию «холма» и «ямы» на профиле температур. При стационарном распространении фронта пламени температура плавно без изменения знака производной по координате увеличивается от начальной величины до максимального значения в газовой фазе, т. е. при стационарном горении профиль температуры не имеет «температурных ям». Этот принцип выполняется при достаточно общих (но не при любых) предположениях о кинетике химических реакций. В этой статье не рассматриваются границы применимости указанного принципа, и поэтому он здесь является исходным предположением.

При диспергировании и вспенивании поверхностного слоя понятие «поверхность» носит несколько условный характер и относится к зоне, где происходит резкое уменьшение плотности вещества [11—13].

Можно представить также пульсирующее горение, происходящее следующим образом: тонкий поверхностный слой конденсированной фазы перегревается, затем происходит вскипание этого слоя, перегревается (или пересыщается газообразными продуктами реакции) следующий слой и т. д. При таких пульсациях горения (которые могут быть и не периодическими, а время от времени возникать на фоне стационарного горения) для образования новой поверхности конденсированной фазы также не нужно затрачивать тепло для испарения всей конденсированной фазы или даже ее значительной части.

В более общем случае, когда имеется поток тепла из газовой фазы к поверхности конденсированной и в конденсированной фазе идут интенсивные химические реакции и выделяется тепло (за счет химических реакций, а также поглощения теплового излучения), исходя из предпо-

ложении об отсутствии «ям», на профиле температур получаем условия

$$Q_u \leq Q_\lambda + Q'_R, \quad (7)$$

где Q'_R — часть Q_R , поглощаемая в столь тонком поверхностном слое, что весь образующийся газ успевает диффундировать к поверхности и жидкость не вскипает. Приведенные соображения помогают уточнить соотношения между Q_u , Q_λ и Q_R , накладывая на них указанное ограничение. Это ограничение особенно существенно при малых тепловых потоках из газовой фазы $Q_\lambda < L_u$, так как при больших потоках $Q_\lambda > L_u$ полученное выше неравенство выполняется автоматически.

Можно предположить, что в ряде случаев выполняется условие

$$Q_u = Q_\lambda \text{ при } Q_\lambda < L_u;$$

$$Q_u = L_u \text{ при } Q_\lambda \geq L_u.$$

В этом случае поток тепла Q_λ начинает существенно влиять на скорость горения только, если $Q_\lambda > L_u$. Как видно из приведенных данных, при горении тетрила в условиях описываемых опытов всегда было $Q_\lambda < L_u$.

В табл. 3 приведен баланс тепла конденсированной фазы, причем

при вычислении Q_{\max} принимали $Q_u = Q_\lambda$ и $Q_R = \frac{r}{\rho u}$, а при вычислении Q_{\min} полагали $Q_u = 0$ и $Q_R = \frac{R}{\rho u}$.

Уточним величину Q_R .

Тепловой поток, поглощенный в твердой фазе, измерен. В расплаве поглощения света почти не происходит (это видно по результатам анализа измеренного профиля температуры) в силу прозрачности вещества. Заранее ничего не известно о поглощении света в ре-

акционном слое конденсированной фазы. Образование пузырьков и разветвленной неровной поверхности может привести к значительному поглощению света. Однако можно предположить, что большая часть света будет поглощена не в тонком реакционном слое конденсированной фазы, а в более широком слое дымогазовой фазы, прилегающей к горящей поверхности, где движется двухфазная смесь полупродуктов реакции и частиц диспергированной и вспененной конденсированной фазы.

Если положить $Q_R = \frac{r}{\rho u}$, получим следующий баланс тепла (табл. 4).

Сравнивая величину Q_x с тепловым эффектом термического распада тетрила Q равным 341 кал/г [5], можно оценить долю тетрила, раз-

Таблица 3

Определяемые величины	$p, \text{ кг/см}^2$			
	1	10	20	45
$Q_x \max, \text{ кал/г}$	85	85	85	90
$Q_x \min, \text{ кал/г}$	45	-70	-5	35
$\alpha_1 = \frac{Q_x \max}{Q_1}$	1,0	0,9	0,8	0,8
$\alpha_2 = \frac{Q_x \min}{Q_1}$	0,5	-0,7	-0,05	0,3
$\alpha_3 = \left(\frac{Q_x + Q_R}{Q_1} \right)_{\max}$	1,0	1,0	1,0	1,0
$\alpha_4 = \left(\frac{Q_x + Q_R}{Q_1} \right)_{\min}$	0,5	0,8	0,8	0,8

Таблица 4

Определяемые величины	$p, \text{ кг}/\text{см}^2$			
	1	10	20	45
$Q_x \max, \text{ кал}/\text{г}$	85	85	85	90
$Q_x \min, \text{ кал}/\text{г}$	45	70	70	70
$\alpha_1 = \frac{Q_x \max}{Q_1}$	1,0	0,9	0,8	0,8
$\alpha_2 = \frac{Q_x \min}{Q_1}$	0,5	0,7	0,7	0,6
$\alpha_3 = \left(\frac{Q_x + Q_R}{Q_1} \right)_{\max}$	1,0	1,0	1,0	1,0
$\alpha_4 = \left(\frac{Q_x + Q_R}{Q_1} \right)_{\min}$	0,5	0,8	0,8	0,8
$u, \text{ см}/\text{сек} (\text{опыт})$	0,045	0,22	0,35	0,55
$u, \text{ см}/\text{сек} (\text{расчет})$	0,059	0,35	0,63	1,04

ложившегося в конденсированной фазе. Эта величина составляет от 13 до 25 %. Остальная часть тетрила диспергирует и вспенивается.

Из табл. 4, составленной на основании экспериментальных данных и оговоренных выше допущений, следует, что большая часть тепла конденсированной фазы Q_1 поступает за счет экзотермических реакций, протекающих в ней, а также поглощенного излучения пламени — от 80 до 100 %. Только при $1 \text{ кг}/\text{см}^2$ имеется меньшая величина — 50 %.

СКОРОСТЬ ГОРЕНИЯ

Для уточнения теплового баланса конденсированной фазы и механизма горения сопоставим измеренные значения скорости горения с величинами, рассчитанными в определенных предположениях о механизме. Выше было показано, что температура поверхности тетрила совпадает с температурой кипения (было бы полезно измерить зависимость температуры поверхности тетрила и других ВВ от начальной температуры).

Вычислим скорость горения тетрила для следующей модели горения:

- 1) температура поверхности равна температуре кипения;
- 2) лучистая энергия поглощается в твердой фазе, а в жидкой и реакционном слое конденсированной фазы не поглощается;
- 3) поверхность конденсированной фазы образуется путем диспергирования и вспенивания, т. е. $Q_u = 0$;
- 4) потоком тепла из газовой фазы пренебрегаем;
- 5) в конденсированной фазе идет реакция нулевого порядка.

В этих предположениях скорость горения будет описываться следующей формулой, полученной методом Зельдовича — Франк-Каменецкого:

$$\frac{1}{\left(T_n - T_0 - \theta + \frac{L}{c} \right)} \sqrt{\frac{2\kappa QRT_n^2}{cE}} z \exp\left(-\frac{E}{RT_n}\right).$$

Если θ и L устремить к нулю, приходим к известной формуле Я. Б. Зельдовича [14].

Величина $\kappa = 10^{-3} \text{ см}^2/\text{сек}$ для жидкого тетрила была определена путем обработки профилей температуры в жидкой фазе горящего тетрила. При расчете скорости горения использована химическая кинетика термического разложения тетрила в жидким состоянии, полученная Робертсоном при температурах 210—260° С, т. е. $z = 10^{15,4} 1/\text{сек}$; $E = 38400 \text{ кал}/\text{моль}$ [4]. Расчет скорости горения дает удовлетворительное

совпадение с опытными данными (табл. 4). К. К. Андреев и М. С. Плясунов ранее провели аналогичный расчет скорости горения тетрила с несколько иными значениями констант и пришли к выводу о ведущей роли химической реакции в конденсированной фазе [6].

МЕХАНИЗМ ГОРЕНИЯ

На основе прямых измерений установлено, что твердая фаза ($T < T_1$) при горении прогревается излучением из пламени и теплопроводностью, причем большая часть запаса тепла в прогретом слое поступает излучением (при давлениях 10—50 атм). Измерена интенсивность лучистого потока, поступившего из пламени в зону твердого вещества. Профиль температуры, обусловленный теплопроводностью и излучением, совпадает с теоретическим.

Установлено, что температура поверхности равна температуре кипения тетрила, что экспериментально подтверждает известное положение А. Ф. Беляева [15] о механизме горения летучих ВВ. Отметим, что в случае существенной роли химических реакций в конденсированной фазе знать температуру поверхности гораздо важнее, чем в случае, когда скорость горения определяется только реакциями в газовой фазе.

Путем составления теплового баланса конденсированной фазы и сравнения рассчитанной и измеренной скоростей горения показано, что свежая поверхность при горении образуется не путем испарения, а главным образом путем диспергирования и пенообразования. Скорость горения тетрила определяется главным образом химическими реакциями в конденсированной фазе.

Таким образом, механизм горения тетрила весьма близок к механизму горения порохов по П. Ф. Похилу [11]. Отличие состоит, по-видимому, в том, что температура поверхности тетрила равна температуре кипения, а температура поверхности пороха определяется закономерностями диспергирования и пенообразования [16].

Поступила в редакцию
11/II 1966

ЛИТЕРАТУРА

1. А. Ф. Беляев. ЖФХ, 1948, **22**, 1.
2. А. Ф. Беляев, Н. Б. Матюшко. Докл. АН СССР, 1941, **30**, 7.
3. Е. Ю. Орлова. Химия и технология близантных взрывчатых веществ. М., Оборонгиз, 1960.
4. К. К. Андреев. Термическое разложение и горение взрывчатых веществ. М.—Л., Оборонгиз, 1957.
5. Ф. И. Дубовицкий, Ю. И. Рубцов, Г. Б. Манелис. Изв. АН СССР, ОХН, 1960, **10**.
6. К. К. Андреев, М. С. Плясунов. Сб. «Теория ВВ». М., изд. высш. школ. 1966.
7. А. А. Зенин. ПМТФ, 1963, **5**.
8. П. Ф. Похил, В. М. Мальцев. ЖФХ, 1965, **39**, 4.
9. К. К. Андреев, П. П. Попова. ЖФХ, 1961, **35**, 9.
10. Л. Д. Ландау. ЖЭТФ, 1944, **14**.
11. П. Ф. Похил. Сб. «Физика взрыва», 1953, № 2.
12. R. Parr, B. Crawford. J. Phys. Coll. Chem., 1950, **54**, 4.
13. Э. И. Максимов, А. Г. Мержанов. Докл. АН СССР, 1964, **157**, 2.
14. Я. Б. Зельдович. ЖЭТФ, 1942, **12**, 12.
15. А. Ф. Беляев. ЖФХ, 1938, **12**; 1940, **14**.
16. А. Д. Марголин, П. Ф. Похил. Докл. АН СССР, 1963, **150**, 6.